

III-80 斜杭の地震時横抵抗の計算法

九州大学 正員 小坪 清真
同 学生員 ○荒牧 勝治

1. まえがき

著者等は前論において、斜組抗の定常論的解析により、地震時の地盤変形の影響を考慮しなければならないことを明らかにした。しかし実際の地震波はランダムであるので地盤変形を考慮した場合のランダム地震波に対する応答計算法を確立しなければならない。ここに Modal Analysis を用いた地盤変形を考慮した場合の応答計算法を提案し、従来までの方法と比較しようとするものである。実際の地震記録は地表面で得られたものかはとんどりで厳密は意味で基盤層から入力波でありとは言い難いが、比較的硬い地盤で得られた地震記録 (Elcentro 地震、NS 成分、1940) を基盤層からの入力波として応答計算を行った。

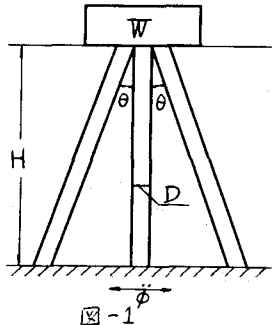


図-1

2. 応答計算法

2.1 基本的考え方

まず地盤の P 次のせん断振動型 U_p を求めよう。振動型を重ね合わせることにより、任意点の変位は次のように表わされる。

$$u = \sum_{p=1}^N b_p U_p \quad (1)$$
 b_p は一般座標、 N は最高次数である。

地盤が U_p のように静変位、た時の杭の変位を \bar{Y}_p とすると地盤がひだり静変位、た時の杭の変位は次式で示される。

$$\bar{Y} = \sum_{p=1}^N b_p \bar{Y}_p \quad (2)$$

次に r 次の杭の振動型を Y_r とすると地盤がせん断変形しない場合の任意点の杭の変位は次式のように書くことができる。

$$y' = \sum_{r=1}^R a_r Y_r \quad (3)$$
 a_r は一般座標、 R は最高次数である。

地盤が変形する場合の杭の変位 y は次式で表わされる。

$$y = y' + \bar{Y} = \sum_{r=1}^R a_r Y_r + \sum_{p=1}^N b_p \bar{Y}_p \quad (4)$$

杭が \bar{Y} のように変形、た時に生じる内力を M_p 、 Y_r のように変形、た時に杭に生じる内力を M_r とすると、地盤の変形を考慮した場合の杭の任意点に生じる内力 M は次式で示される。

$$M = \sum_{r=1}^R a_r M_r + \sum_{p=1}^N b_p M_p \quad (5)$$

一般座標 a_r 、 b_p を求めれば (4) 式と (5) 式より杭の変位および杭に生じる内力を知ることができる。

2.2 地盤の応答

地盤の P 次の振動型 U_p 、地盤のせん断振動の式より求めると地盤の変位は (1) 式で与えられるので、 Lagrange の方程式を用いて一般座標 b_p に関する次のようは運動方程式が得られる。

$$b_p'' + 2h_p n_p b_p' + n_p^2 b_p = -\beta_p \ddot{\phi} \quad (6) \quad \text{但し} \quad \beta_p = \int_0^H U_p dz / \int_0^H U_p' dz \quad (7)$$

h_p 、 n_p は P 次の減衰定数及び固有振動数である。

2.3 杭の応答

杭の変位は (3) 式で表示されるので、運動エネルギーは規準振動型の直交性を考慮して、

$$K = WA/g \int_0^H (\frac{1}{2} \dot{a}_r^2 Y_r^2) dz + WA/g \int_0^{H_{ACG}} (\frac{1}{2} \dot{a}_r^2 Y_r^2) dz + WA/g \int_0^{H_{ACG}} (\frac{1}{2} \dot{a}_r^2 X_r^2) dz + W/g (\frac{1}{2} \dot{a}_r^2 Y_r) \quad (8)$$

⑧式において第一項は直杭の横方向、第二項は斜杭の横方向、第三項は斜杭の軸方向、第四項は上載荷重の運動エネルギーである。 Y_r, Y_{ir}, X_r, X_{ir} はそれぞれ地盤の振動型である。

同様に全エネルギーは、

$$T = \frac{1}{2} \int \left(\frac{8}{3} M_r \dot{a}_r^2 Y_r + W A g \left(\frac{8}{3} M_r \dot{a}_r^2 Y_{ir} \right) d\zeta + W A g \left(\frac{8}{3} M_r \dot{a}_r^2 X_r \right) d\zeta + W A g \left(\frac{8}{3} M_r \dot{a}_r^2 T_r \right) \right) \quad ⑨$$

更に一般力 Q_r を求め Lagrange の方程式に代入して杭の運動方程式を求めると次のようになる。

$$M_r \{ \ddot{a}_r + 2h_r n_r \dot{a}_r + n_r^2 a_r \} = - \{ M_r \ddot{\phi} + \sum_{p=1}^N b_p \bar{M}_{pr} \} \quad ⑩$$

石刃の第一項は地盤に与える一般力、第二項は地盤が変形することによって生じる一般力である。

$$\text{但し } M_r = \frac{1}{8} \{ W A \} Y_r d\zeta + 2 W A \{ Y_r \} d\zeta + 2 W A \{ X_r \} d\zeta + W T_r \} \quad ⑪$$

$$M_r = \frac{1}{8} \{ W A \} Y_{ir} d\zeta + 2 W A \cos \theta \{ Y_{ir} \} d\zeta + 2 W A \sin \theta \{ X_{ir} \} d\zeta + W T_r \} \quad ⑫$$

$$\bar{M}_{pr} = \frac{1}{8} \{ W A \} Y_p Y_r d\zeta + 2 W A \{ Y_p \} Y_r d\zeta + 2 W A \{ X_p \} X_r d\zeta + W T_p T_r \} \quad ⑬$$

下層地盤からの加速度 \ddot{a} が与えられれば杭及び地盤の応答が求められる。

3. 数値計算例

数値計算には図-1のように頭部が空中に出ている系を用い、地盤のせん断弾性定数 G_m および地盤反力 K は深さ方向に一定であるとした。図-2 では $K = 2 \text{ kN/cm}^3$, $W = 100 \text{ t}$ と 1 大時の振動型を求めたものである。実線は地盤が 1・ T_p 以下の変形で 1 大時の直杭の変形曲線であり、破線は直杭の 1 次振動型である。杭の 1 次の固有円振動数 ω は 31.96 という非常に大きいものであり、2 次以上のそれは非常に大きくて問題となりない。図-3 は直杭のモーメントの型である。図-4 は地盤の変位及び杭頭の変位を Lunge-Kutta-Gill 法を用いて計算したものである。杭の変位ははるか地盤の変位によって決り、特に地盤の 1 次変形が卓越する。この地盤 G_m , K , W を種々変えて計算を行ったがほゞ同様の傾向を示した。図-5 は最大変位を示す大時刻の深さ方向の変形の分布図である。

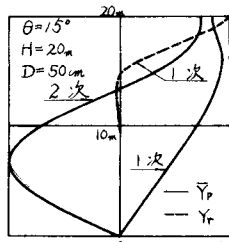


図-2 振動型(直杭変形)

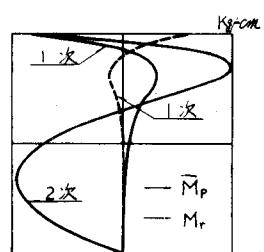


図-3 振動型(直杭モーメント)

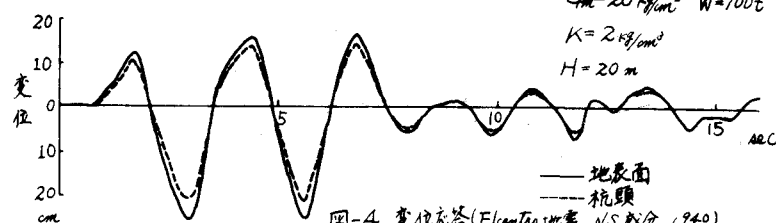


図-4 变位応答(El Centro 地震 NS 成分, 1940)

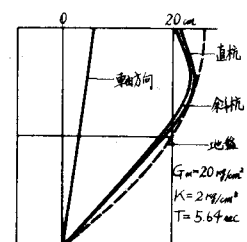


図-5 深さ方向の変形分布

4. 結論

以上の計算結果はこの計算法が地盤変形を考慮した計算法として妥当であることを示している。また斜組杭は地震時での変形がほゞ地盤の動きによつて決定されることが分ったが、これらに空中部分が存在して固有周期が長くなる場合には少し異った結果が予想される。これについては目下研究中である。

参考文献

(1) 小坪・荒牧「斜組杭の地震時における挙動」 第22回年次学術講演会講演概要集Ⅲ S42.5